

10;12  
©1994

## ТОРОИДАЛЬНОЕ И СФЕРИЧЕСКОЕ ЗЕРКАЛО ДЛЯ ЭНЕРГОУГЛОВОГО АНАЛИЗА ФОТОЭЛЕКТРОНОВ

*А.А. Трубицын, Б.А. Полонский, О.Д. Протопопов*

Все большее влияние на развитие теоретических представлений о физике поверхности твердого тела оказывает фотоэлектронная спектроскопия. Ее возрастающая роль стимулирует разработку современного физико-аналитического оборудования. Уникальные электронно-оптические характеристики электростатического сферического зеркала (СЗ) и систем на его основе ставят его в ряд наиболее перспективных приборов для анализа характеристик потоков фотоэлектронов.

Настоящая работа посвящена численному исследованию электронно-оптических свойств электростатического зеркала с электродами, имеющими некоторые отклонения от сферичности и являющимися торами. В работе показана возможность использования СЗ и тороидального зеркала (ТЗ) в качестве приборов для энергоуглового анализа потоков фотоэлектронов.

Уникальное свойство СЗ — идеальная угловая фокусировка — было установлено в работе Сар-Эля [1]. Было показано, что для параметра отражения  $S = 1$  точечный источник отражается в диаметрально противоположную точку без сферической аберрации. Здесь

$$S = \frac{q \cdot V}{2 \cdot E} \cdot \frac{1}{-R_{\text{in}}/R_{\text{out}}},$$

где  $q$  и  $E$  — заряд и кинетическая энергия частицы,  $V$  — отклоняющийся потенциал, приложенный между наружным электродом с радиусом  $R_{\text{out}}$  и внутренним электродом с радиусом  $R_{\text{in}}$ . Однако автор указанной работы ограничился рассмотрением лишь электронно-оптических схем с близкой к нулю линейной дисперсией по энергии, к тому же зависящей от угла влета частицы.

Более полное исследование характеристик СЗ было проведено в ряде работ В.В. Зашквары и сотр. (например, [2,3]), где была установлена схема, для которой дисперсия по энергии не зависит от угла вылета и равна удвоенному радиусу внутреннего сферического электрода. В данной

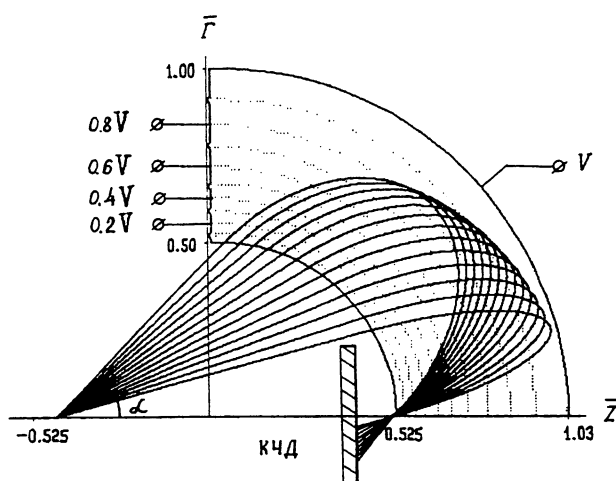


Рис. 1. Сферическое зеркало с энергоугловым разрешением.

схеме параметр отражения  $S = 1$ , а источник и изображение находятся в диаметрально противоположных точках на поверхности внутреннего сферического электрода. Практически пригодная конструкция, предложенная авторами, представляет собой две полусфера с выходной диафрагмой в центре внутренней полусферы, мелкоструктурной сеткой в местах пролета электронного пучка и коррекцией краевого поля с помощью нескольких корректирующих колец. Такое устройство обеспечивает светосилу, значительно превышающую светосилу практически используемых в настоящее время конструкций, при неограниченном снизу значении энергетического разрешения.

Свойство идеальной угловой фокусировки позволяет расширить область применения СЗ. При использовании двумерного координатно-чувствительного детектора (КЧД), как это показано на рис. 1, появляется возможность экспрессного анализа угловых характеристик потока фотоэлектронов в практически полном  $0 \rightarrow 2\pi$  диапазоне азимутальных углов (за исключением участков затенения перемычками жесткости во внутреннем электроде) и в достаточно широком диапазоне полярных углов. Здесь и далее электростатическое поле в системе рассчитывалось методом граничных элементов [4], а вычисление траекторий производилось методом, предложенным в работе [5].

К недостатку указанной выше конструкции следует отнести невозможность регистрации фотоэлектронов, имеющих близкий к  $90^\circ$  полярный угол  $\alpha$  вылета из образца. Данный участок углов является наиболее информативным в фото-

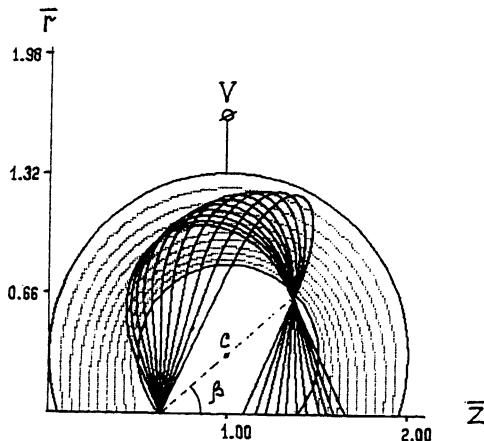


Рис. 2. Траектории электронов с энергией  $E = V$  в тороидальном зеркале ( $\beta = 40^\circ$ ).

электронной спектроскопии с угловым разрешением. Расширение диапазона полярных углов за счет уменьшения сегмента, вырезаемого из внутренней и внешней сфер, создает проблемы с подводом возбуждающего излучения к объекту и питающих напряжений к системе регистрации.

Идея создания конструкции, позволяющей регистрировать фотоэлектроны в широком диапазоне полярных углов  $\alpha$  вплоть до  $90^\circ$ , заключалась в искажении идеальной сферичности электродов СЗ таким образом, чтобы соответствующая схема обладала фокусировкой типа "ось-кольцо", в отличие от идеального СЗ, где обеспечивается фокусировка типа "ось-ось". В таком случае появляется свободное пространство, которое и может быть использовано для разрешения поставленной проблемы.

Результаты расчета электронно-оптических систем, образованных электродами, являющимися фигурами вращения сегментов окружностей, центры  $C$  которых лежат на луче, выходящем из осевого источника и имеющем некоторый угол наклона  $\beta > 0$  по отношению к оси  $\bar{z}$ , показали, что в таких системах сохраняется высокий порядок фокусировки (однако идеальная фокусировка исчезает), а источник и соответствующее изображение лежат на диаметре образующей окружности. На рисунке 2 представлен пример траекторного анализа тороидального зеркала с  $\beta = 40^\circ$ .

В работе было проведено детальное исследование фокусирующих свойств ТЗ следующим образом. Для тороидального зеркала с параметром  $\beta$  строилась зависимость  $d(\alpha)$  расстояния между источником и точкой пересе-

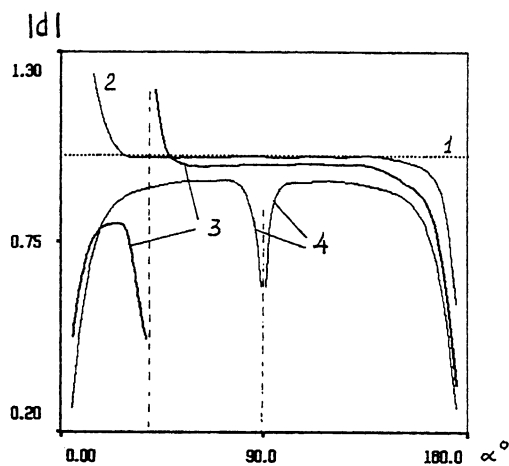


Рис. 3. Зависимость расстояния  $|d|$  между источником и точкой пересечения траектории электрона с лучом, выходящим из источника под углом  $\beta$ , от угла эмиссии электрона  $\alpha$  для тороидального зеркала с параметром  $\beta$ : 1 —  $\beta = 0^\circ$  (сферическое зеркало), 2 —  $\beta = 10^\circ$ , 3 —  $\beta = 40^\circ$ , 4 —  $\beta = 90^\circ$ .

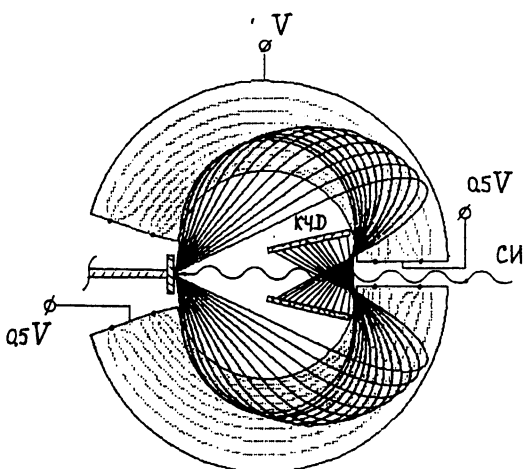


Рис. 4. Конструкция тороидального зеркала с энергоугловым разрешением. СИ — синхротронное излучение.

чения траектории электрона, эмиттированного под углом  $\alpha$ , с лучом, выходящим под углом  $\beta$  из источника, в соот-

вествии с формулой  $d(\alpha) = \left[ r_c^2(\alpha) + (z_c(\alpha) - z_s)^2 \right]^{1/2}$ . Здесь  $r_c(\alpha)$ ,  $z_c(\alpha)$  — координаты точек пересечения траекторий электронов, покидающих область градиента электростатического поля, с указанным лучом;  $z_s$  — координата источника на оси  $\bar{z}$ . Поскольку величина горизонтального участка на зависимости  $d(\alpha)$  характеризует порядок фокусировки (в случае идеальной фокусировки зависимость  $d$  от  $\alpha$  является константой), то из хода кривых на рис. 3 можно сделать заключение о том, что с ростом  $\beta$  происходит уменьшение порядка угловой фокусировки и некоторое уменьшение расстояния между источником и изображением. При этом вблизи угла  $\alpha = \beta$  зависимость  $d$  от  $\alpha$  терпит разрыв. Отмеченные свойства позволяют использовать ТЗ с малым параметром  $\beta$  ( $\beta < 10^\circ$ ) в экспериментах, где требуются системы с высоким порядком фокусировки типа ось-кольцо.

Рис. 4 демонстрирует конструкцию анализатора с угловым и энергетическим разрешением на основе ТЗ с  $\beta = 7^\circ$ , позволяющего одновременно регистрировать фотоэлектроны в практически полном ( $0 - 2\pi$ ) диапазоне азимутальных углов и широком ( $15^\circ + 90^\circ$ ) диапазоне полярных углов. Система регистрации фотоэлектронов представляет собой конусообразный (либо цилиндрический) координатно-чувствительный детектор. Данное устройство может быть использовано в электронной спектроскопии с синхротронным возбуждением, например в методе голограммической интерпретации фотоэлектронной дифракции [6].

### Список литературы

- [1] Sar-El H.Z. // Nucl. Instr. Meth. 1966. V. 42. N 1. P. 71-76.
- [2] Защекара В.В., Юрчак Л.С., Былинкин А.Ф. // ЖТФ. 1988. Т. 58. В. 10. С. 2010-2020.
- [3] Защекара В.В., Максимов В.К., Былинкин А.Ф., Бок А.А. // Тез.докл. XI семинара "Методы расчета электронно-оптических систем". Алма-Ата. 1992. С. 43.
- [4] Трубицын А.А. // Деп. в ВИНИТИ. 1993. N 169-B93. 28 с.
- [5] Трубицын А.А. // Ж. вычисл. матем. и матем. физ. 1990. Т. 30. N 7. С. 1113-1115.
- [6] Shirley D.A. // Abstracts of the 5th International Conference on Electron Spectroscopy (ICES-5). Ukraine, Kiev. 1993. 0101.

Научно-исследовательский  
технологический институт,  
Рязань

Поступило в Редакцию  
29 мая 1994 г.